

Sel - Seismology.

Fr Y₂O₄; Fr Yb₂O₄; Fr Er₂O₄; IX 322
Fr Er₂O₄; Fr Tm₂O₄; Fr Yb₂O₄;
Fr La₂O₃ (Tm)

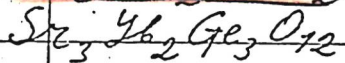
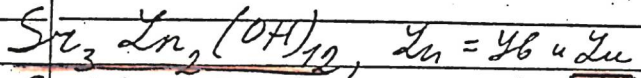
Monaco J. M., Яремчук З.Я
Сибирский С.Р., Докт. АНУССР
1965, (II), 1493-7

op

Ca 1966

1968

IX



IX 464

Ito Yuz.

Miner. Res. Bull., 1968, 3, 495-500

Strontium rare-earth hydro-
and germanate garnets.

| | | | | | |
|---|---|---|---|---|---|
| 1 | 2 | 3 | 4 | 5 | 6 |
| E | S | L | M | N | O |
| 1 | 2 | 3 | 4 | 5 | 6 |

P. No.

Proc. 7B 15 (1969).

D

Mn

(1)

6

$PbCr_2S_4$; $SrCr_2S_4$; $BaCr_2S_4$; $EuCr_2S_4$; 196⁸

$SrCr_2Se_4$ u $\underline{EuSr_2Se_4}$.

abc.

VII 2892

Omløo W.P.F.A.M., Yellinek F.

le⁸

Recueil trav.chim., 1968, 87, N6, 545-548.

Lead chromium sulfide, $PbCr_2S_4$, and
some isotypic compounds.

PAKX, 1969, 35421.

①

(Cu) $\frac{1}{2}$

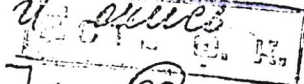
10 gms

$2 \text{Sm}_2\text{O}_3 \cdot \text{SrO}$ (Tm) IX 953 1969
 $2 \text{Cd}_2\text{O}_3 \cdot \text{SrO}$ (Tm) ~~датировка~~
 $2 \text{Dy}_2\text{O}_3 \cdot \text{SrO}$

Донаш Н.Н.; Румянцевский А.Е.

Узб. Акад. Наук Укр. ССР Леп. В 1969,
31(4), 635-7.

Образование новых фаз в алюминиевых
окисях. Супорозит - сплавообразующие, радио-
активные и др. фазы. Гидроизоморфизм.



57 РР

29, 1969, 41, N18, 85227.

1969

19 В25. Новые соединения в системах $\text{Pr}_2\text{O}_3-\text{SrO}$ и
 $\text{Nd}_2\text{O}_3-\text{SrO}$. Нові сполуки в системах $\text{Pr}_2\text{O}_3-\text{SrO}$ и
 $\text{Nd}_2\text{O}_3-\text{SrO}$. Лопато Л. М., Павликова В. Н., Лу-
гін Л. І. «Доповіді АН УРСР», 1969, Б, № 5, 429—431
(укр.; рез. англ.)

Изучено взаимодействие SrO с Pr_2O_3 и Nd_2O_3 и уста-
новлено образование трех типов соединений: $2\text{Pr}_2\text{O}_3 \cdot \text{SrO}$,
 $2\text{Nd}_2\text{O}_3 \cdot \text{SrO}$; $4\text{Pr}_2\text{O}_3 \cdot 5\text{SrO}$, $4\text{Nd}_2\text{O}_3 \cdot 5\text{SrO}$; $\text{Pr}_2\text{O}_3 \cdot 2\text{SrO}$,
 $\text{Nd}_2\text{O}_3 \cdot 2\text{SrO}$. Соединения $2\text{Ln}_2\text{O}_3 \cdot \text{SrO}$, где $\text{Ln} = \text{Pr}$ и Nd ,
устойчивы в интервале т-р от 1300° до т-р плавления
($\sim 2100^\circ$) и имеют области гомогенности в интервале от
30 до 37 мол. % SrO . Соединение ориентировочного со-
става $4\text{Pr}_2\text{O}_3 \cdot 5\text{SrO}$ получено вблизи т-р плавления в ре-
зультате острых закалок. Аналогичное соединение в си-
стеме $\text{Nd}_2\text{O}_3-\text{SrO}$ устойчиво в интервале т-р $1730-185^\circ$.
Соединения $\text{Pr}_2\text{O}_3 \cdot 2\text{SrO}$ и $\text{Nd}_2\text{O}_3 \cdot 2\text{SrO}$ устойчивы от т-ры
 1250° до т-р плавления ($\sim 1780^\circ$). Структурные аналоги
для полученных соединений не найдены.

Резюме

2. 1969.

19

1969

2La₂O.SrO

111266f Compounds in lanthanum oxide-strontium oxide and cerium(III) oxide-strontium oxide systems. Lopato, L. M.; Pavlikov, V. N.; Lugin, L. I. (USSR). *Zh. Neorg. Khim.* 1969, 14(3), 861-2 (Russ). Two types of compds. formed in these systems, the 2:1 complexes, formed on calcining at 1500-900°, and 1:2 complexes, formed on calcining at 1650° in Ar or at 1600 in H atm. for 6 hrs. 2La₂O.SrO melts at 2100 ± 30° without decompn. 2Ce₂O₃.SrO was also sepd. La₂O₃.2SrO and Ce₂O₃.2SrO decompd. on melting to form a liq. and a solid phase, the last contg. 2:1 compds. X-ray diffraction data for all 4 compds. are tabulated.

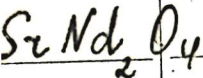
HMJR

T_m

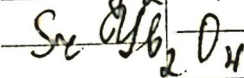
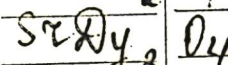
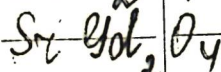
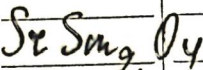
- C. A. -

1969. 70. 24

1969



111211j Existence and stability of AB_2O_4 compounds formed between alkaline earth oxides and lanthanide oxides. Queyroux, Francine (Centre Etud. Chim. Met., C.N.R.S., Vitry-sur-Seine, Fr.). *C. R. Acad. Sci., Paris, Ser. C* 1969, 268(5), 403-5 (Fr). The oxides of the compn. AB_2O_4 were prep'd. by solid state reactions of alk. earth carbonates with lanthanide oxides. Their stabilities were studied as a function of ionic radii of the lanthanide. The following compds. were isolated: SrNd_2O_4 , SrSm_2O_4 , SrGd_2O_4 , SrDy_2O_4 , and SrYb_2O_4 . Margarete Lindsley



C.A. 1969. 70-24

SrO - Ln₂O₃ a, b, c

1969

IX Queyroux F. PX 907

Rev. internat. hautes températ.
et refract., 1969, 6, 111-115, XI

Phases nouvelles formées par
les oxydes des lanthanides avec
l'oxyde de strontium.

6

PX, 45593 (1969)

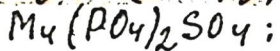
(*) Me

IX

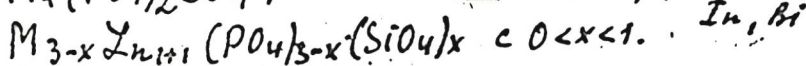


M = Sr u Ba,

1970



Ln = La, Nd, Gd, Y, Lu, Sc,



abc.

1 X 1056

Blasse G.

J. Solid State Chem., 1970, 2, N¹, 27-30.

New compounds with eulytine structure.
Crystal chemistry and luminescence.

26 Me. (5)



PX, 1970, 245398.

Sr - соег.

Sr₂LaGa₃O₇

SrNdGa₃O₇

SrSmGa₃O₇

Tm

BP - 2873 - IX

1970

23 В41. Двойные галлаты с решеткой типа геленита.
Исматов А. А., Колесова В. А., Пирютко М. М.
«Изв. АН СССР. Неорганические материалы», 1970, 6, № 7,
1361—1363

Взаимодействием Ga₂O₃, Ln₂O₃, и MCO₃, где Ln=La, Pr,
Nd, Sm и M=Sr или Ba, при 1450° в течение 8 час. полу-
чены SrLnGa₃O₇, где Ln=La (I), Nd (II), Sm (III) и
BaLnGa₃O₇, где Ln=La (IV), Pr (V) и Nd (VI). Рентге-
нографич. изучением I—IV установлено, что они изо-
структурны минералу гелениту; определены параметры
решетки I—VI. I—VI изучены также методами ИК-спект-
роскопии и кристаллооптики; определены их пикномет-
рич. плотности и т. плавления. М. Б. Варфоломеев

X. 1970. 23



(+)



1970

 Nd_2O_3 -SrO

(115279b) Phase transformations in the neodymium sesquioxide-strontium oxide system. Tresvyatskii, S. G.; Pavlikov, V. N.; Lopato, L. M.; Lugin, L. I. (Inst. Probl. Mater., Kiev, USSR). *Izv. Akad. Nauk SSSR, Neorg. Mater.* 1970, 6 (1), 41-5 (Russ). By using the annealing and the quenching method at 1500-2350°, the phase relations in the Nd_2O_3 -SrO system were studied and the corresponding phase diagram was constructed. Three new compds. were identified in the system: $2\text{Nd}_2\text{O}_3\cdot\text{SrO}$, $4\text{Nd}_2\text{O}_3\cdot5\text{SrO}$, and $2\text{Nd}_2\text{O}_3\cdot3\text{SrO}$. The 2:1 and 2:3 compds. are stable over the entire temp. range investigated and melt congruently. The 4:5 compd. has a limited existence region at 1730-1850°. Based on the starting oxides and the compd. $2\text{Nd}_2\text{O}_3\cdot\text{SrO}$, the solid solns. were identified. The concn. dependencies of the parameters of the solid solns. based on Nd_2O_3 and SrO were plotted. No stabilization of the high-temp. modifications of Nd_2O_3 was obsd.

S. A. Mersol

us
onuaole

C.A. 1970

• 79-22 •

1970

2Nd₂O₃·SrO
Nd₂O₃·SrO
4Nd₂O₃·5SrO
Nd₂O₃·2SrO

13 Б944. Фазовые превращения в системе Nd₂O₃—SrO. Тресвятский С., Павликова В. Н., Л. О.-пата. Л. М., Лугин Л. И. «Изв. АН СССР. Неорганические материалы», 1970, 6, № 1, 41—45

Методом отжига и закалки, в сочетании с оптическим, рентгеновским и микроструктурным методами изучены фазовые превращения в системе Nd₂O₃—SrO в интервале т-р 1500—2350°. Установлено образование 4 соединений. Соединение 2Nd₂O₃·SrO стабильно во всем исследованном интервале т-р, плавится конгруэнтно, имеет область гомогенности ~7 мол. % SrO; фаза Nd₂O₃·SrO устойчива в ~1370°; фаза 4Nd₂O₃·5SrO устойчива в интервале т-р 1730—1850°, плавится инконгруэнтно; фаза Nd₂O₃·2SrO устойчива во всем исследованном интервале т-р, плавится конгруэнтно. Максим. растворимость SrO в Nd₂O₃ 21 мол. % при 2050°, а Nd₂O₃ в SrO — 6 мол. % при 1770°.

Автореферат

T_m

Х. 1970.

73

1971

ВФ-3031-ІХ

SrDyO

14 Б689. Диаграмма состояния системы Dy_2O_3-SrO .
 Лопато Л. М., Кущевський А. Є., Шевченко О. В. Діаграма стану системи Dy_2O_3-SrO . «Доповіді АН УРСР», 1971, Б, № 3, 246—248, 286 (укр.; рез. рус., англ.)

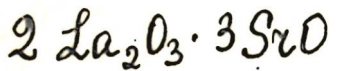
С помощью методов анализа рентгеновского, петро-графич. и высокот-рного ДТА изучено взаимодействие между окислами Dy и Sr в интервале т-р от 1300 до 2400° и построена диаграмма бинарной системы Dy_2O_3-SrO . Установлены соединения $SrDy_2O_4$ и $SrDy_4O_7$, пла-вящиеся конгруэнтно, существование областей тв. р-ров на основе исходных окислов, а также снижение т-р полиморфных переходов для В, А, Н, и Х-форм Dy_2O_3 при добавках SrO . Т-ры плавления эвтектик равны со-отв. 2220, 2080 и 1970° для составов с содержанием

Tm

+1

X 1971.14

Dy_2O_3 70,59—60 и 30% (всюду мол. %). Установлено, что максим. пр-мость SrO в полиморфных формах Dy_2O_3 след.: для X-формы $\geq 24\%$ (2220°), H-формы $\geq 21\%$ (2140°), A-формы — 19% (2070°); B-формы — 4% (2050°) и C-формы — 2% (1880°). Максим. пр-мость Dy_2O_3 в SrO —5% (1970°). При добавках SrO т-ра обратимого полиморфного превращения $X \rightleftharpoons{} H$ снижается от 2345° для чистой Dy_2O_3 до 2140° в эвтектоидной точке с содержанием SrO 22—23%. По аналогии для превращения $H \rightleftharpoons{} A$ т-ра снижается от 2170° до 2130° ($\sim 20\%$ SrO), $A \rightleftharpoons{} B$ — от 2160° до 2050° (12 — 13% SrO) и $B \rightleftharpoons{} C$ — от 1950° до 1880° (3% SrO). Резюме



1971

Dopato, L.M.; et al.

(Tm) "Dopov. Akad. Nauk. Ukr. R.S.R.
Ser B." 1971, 33, N8, 713-16.

(cst. La_2O_3 ; I)

SrY_2O_9 , $\text{SrY}_6\text{O}_{11}$ (Tm) 9 183558 1971
 SrY_3O_7 , SrY_6O_7 (Tm_{inc})

Иркутск. Г.Г., Ионамо Н.Н.,

Кузнецкий А.Е., Шевченко Р.В.

Узб. АН СССР. Неорг. материалы,
1971, № 110, 1803-1811.

Диаграмма состояния Y_2O_3 - SrO
и Y_6O_5 - SrO .

1972

551013

10 5 ⑨

SrSm₄O₇

1971

SrSm₂O₄

4 Б870. Диаграмма состояния системы Sm_2O_3 — SrO . Третьяковский С. Г., Лопато Л. М., Кущевский А. Е., Шевченко А. В. «Изв. АН СССР. Неорг. материалы», 1971, 7, № 10, 1880—1881

С помощью высокот-риого рентгеновского и дифференциального термич. анализов изучено физ.-хим. взаимодействие между Sm_2O_3 и SrO в интервале т-р от 1300 до 2400° и построена диаграмма бинарной системы Sm_2O_3 — SrO . Характерным для диаграммы является наличие соединений SrSm_4O_7 и SrSm_2O_4 , плавящихся конгруэнтно, существование областей тв. р-ров на основе исходных окислов, а также снижение т-р полиморфных пере-

Tm

x, 1972, 4

ходов для *B*-, *A*-, *H*- и *X*-форм Sm_2O_3 при добавках SrO . Т-ры плавления элтектик равны, соотв. 2225, 1940 и 1900° для составов с содержанием Sm_2O_3 70, 55—56 и 31—32 мол. %. Максим. р-римость SrO в полиморфных формах Sm_2O_3 след.: для *X*-формы не менее 14 мол. % (2225°), *H*-формы ~11 мол. % (2120°), *A*-формы 24 мол. % (1840°) и *B*-формы 6,5 мол. % (1460°). Максим. р-римость Sm_2O_3 в SrO 7,5 мол. % (1900°). Наиболее значительно при добавках SrO снижается т-ра обратимого полиморфного превращения $B \rightleftharpoons A$: от 1920° для чистой Sm_2O_3 до 1460° для состава, содержащего 8—10 мол. % SrO .

Автореферат

1971

Sr Sm₂O₃

(37957n) Phase diagram of the samarium sesquioxide-strontium oxide system. Tresvyatskii, S. G.; Lopato, L. M.; Kuchchevskii, A. E.; Shevchenko, A. V. (Inst. Probl. Materialoved., Kiev, USSR). *Izv. Akad. Nauk SSSR, Neorg. Mater.* 1971, 7(10), 1880-1 (Russ). Phase relation studies of the Sm_2O_3 -SrO system at 1300-2400° by both static and dynamic phys. chem. anal. methods show the presence of the compds. SrSm_4O_7 and SrSm_2O_4 , the existence of solid solns. regions based on the initial oxides, and also a lowering of the temps. of the polymorphous transitions of the B-, A-, H-, and X-forms of Sm_2O_3 upon addn. of SrO. The compd. SrSm_2O_4 is stable from 1300 to 2090°. The compd. SrSm_4O_7 forms at 1840° and exists to the m.p. (2250°). The congruent nature of the melting of the given compds. was confirmed petrog. by the presence of eutectics for the compns. contg. 70 mole % Sm_2O_3 (2225°).

T_m

C.A. 1972.76.8

55-56 mole % Sm_2O_3 (1940°), and 31-32 mole % Sm_2O_3 (1900°C). The phases formed during quenching are metastable. The solid solns. based on the polymorphous forms of Sm_2O_3 were studied and the boundaries of their existence detd. As the temp. is increased from 1300 to 1900° , the solv. of Sm_2O_3 in SrO -based solid solns. increases from 2 to 7.5 mole %. The max. solv. of SrO in the *B*-form of Sm_2O_3 is 6.5 mole % at 1460° and at 1300° , it decreases to 2.5 mole %. S. A. Mersol

$Mg_4La_6(SiO_4)_4(PO_4)_2O_2$; № 4095

1972

$Ca_4La_6(SiO_4)_4(PO_4)_2O_2$; $Sr_4La_6(SiO_4)_4(PO_4)_2O_2$,

$Ba_4La_6(SiO_4)_4(PO_4)_2O_2$ (Tm)

Федоров Н.Ф., Андреев А.Р.,
Азимов Ш.Ю.

Узб. ЯН СССР. Неорг. материя,
1972, 8, № 10, 1881-1882. Исследование
силикофосфатов состава M_4^{2+}
 $La_6(SiO_4)_4(PO_4)_2O_2$, где M^{2+} — Mg, Ca, Sr и Ba

РНХИИ, 1973

55432

5 (P) 6

1972

 Dy_2O_3 SrO (T_m)

130057r Phase ratios in gadolinium oxide-strontium oxide and dysprosium oxide-strontium oxide systems. Kushchevskii, A. E. (USSR). *Tekhnol. Poluch. Novykh Mater.* 1972, 186-9 (Russ). From Ref. Zh., Met. 1973, Abstr. No. 2A67. The title studies were made at 1600-2400° by an annealing and tempering method with x-ray and petrog. phase anal. Compns. of 4:1 and 1:1 were obsd. in the systems with high rare earth element oxide content. In the Dy_2O_3 -SrO systems, the obsd. phases occurred only above the temp. of conversion of cubic Dy_2O_3 to monoclinic form. Compns. of 1:1 melted congruently at ~ 2000 - 2100° and began to form even at 1300° . Max. SrO content at which the monoclinic form stabilized was 4 mole %. Temp. for polymorphic conversion for pure Dy_2O_3 was lowered to 1950° and to

1800° for a compn. with 4 mole % SrO. In addn., solid solns. based on the original oxides were found in the systems: at 1900° , solv. of Gd_2O_3 in SrO was 6 mole % and of Dy_2O_3 5 mole %, solv. of SrO in Gd_2O_3 was 5 mole % and in Dy_2O_3 3.5 mole %. The reactions in the systems are complex and are primarily dependent on the chem. properties of the initial oxides and on the closeness of the ionic radii of the rare earth oxides and Sr.

CA 1973

79, 22

 +1 Dy_2O_3 (T_{tr})

B9P-4480-1A

1972

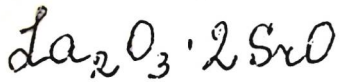
Системы
окислов $\text{SrO} - \text{Gd}_2\text{O}_3$

11 Б941. Исследование систем высокоогнеупорных окислов. Лопато Л. М., Шевченко А. В., Кущевский А. Е. «Порошк. металлургия», 1972, № 1, 88–92 (рез. англ.)

Описан метод высокотривального дифференциального термич. анализа (ДТА), позволяющий измерять т-ры фазовых переходов окисных материалов до 2400°. На основании данного метода в сочетании с данными петрографич. и рентгеновского анализов исследована и построена диаграмма состояния системы $\text{Gd}_2\text{O}_3 - \text{SrO}$. Автореферат

X'1972

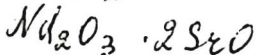
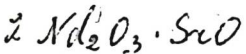
11



1972

76538n Petrographic study of phase relations in $\text{M}_2\text{O}_3\text{-SrO}$ systems. Lopato, L. M.; Yarmenko, Z. A.; Kushchevskii, A. E.; Pavlikov, V. N. (USSR). *Eksp. Issled. Mineralo-obrazov. Sukhikh Okisnykh Silikat. Sist.* 1972, 87-93 (Russ). Edited by Lapin, V. V. "Nauka": Moscow, USSR. Phase relations in the $\text{M}_2\text{O}_3\text{-SrO}$ systems (where M is La, Ce, Pr, Nd, Sm, Gd, and Dy) were studied exptl. at 1600-2400° by the quenching method in an Ar atm. For the prepn. of speci-

(Tm)



(+) 2

C.A. 1973.78, n12

mens in the Ce_2O_3 -SrO system, a redn. atm. was used. The identification of phases was made by x-ray and microstructural anal. and by ir spectroscopy. In the Nd_2O_3 -SrO system, 3 phases of compn. 2:1, 4:5, and 1:2 were found and their characteristics are given. Compds. of the compn. 2:1 and 1:2 melt congruently, whereas the 4:5 compn. decomposes. The peritectic point of the system is at 1850° and 57 mole % SrO. In the La_2O_3 -SrO system, $2\text{La}_2\text{O}_3 \cdot \text{SrO}$ and $\text{La}_2\text{O}_3 \cdot 2\text{SrO}$ were found, the latter melting incongruently $>1750^\circ$. The Ce_2O_3 -SrO system forms the compds. $2\text{Ce}_2\text{O}_3 \cdot \text{SrO}$ and $\text{Ce}_2\text{O}_3 \cdot 2\text{SrO}$. In the Pr_2O_3 -SrO system, the compds. $2\text{Pr}_2\text{O}_3 \cdot \text{SrO}$, $4\text{Pr}_2\text{O}_3 \cdot 5\text{SrO}$, and $\text{Pr}_2\text{O}_3 \cdot 2\text{SrO}$ were found. Phase relations in this system are analogous to those in the Nd_2O_3 -SrO system. In the Sm_2O_3 -SrO system, a new phase with $n = 2.10-2.08$ was found. For the Gd_2O_3 -SrO system, the formation of stable compds. $\text{Gd}_2\text{O}_3 \cdot \text{SrO}$ is characteristic. Near the compn. 2:1, a new phase appeared. The same holds for the Dy_2O_3 -SrO system. Jan J. Linek

$2\ La_2O_3 \cdot 3\ SrO$ BP-4750-IX 1972

70668d Reactions of rare earth metal oxides with calcium, strontium, and europium oxides. Lugin, L. I.; Kushchevskii, A. E.; Gerasimyuk, G. I.; Shevchenko, A. V.; Lopato, L. M. (USSR). *Elektron. Str. Fiz. Svoistva Tverd. Tela* 1972, No. 1, 166-72 (Russ). From Ref. Zh., Khim. 1973, Abstr. No. 5B754. High-temp. DTA, x-ray examn., and petrographic and microstructural anal. were used to study the systems $CaO-Ln_2O_3$, $SrO-Ln_2O_3$, and $EuO-Ln_2O_3$, where Ln = rare earth elements. The equil. diagram was given for the system La_2O_3-CaO (I). Solid solns. based on La_2O_3 were formed in this system. The solv. of CaO in La_2O_3 at 1885° was ≤ 20 mole % and ≤ 15 mole % at 1700° . CaO and Pr_2O_3 formed a similar system; the solv. of CaO in Pr_2O_3 at 1960° was ≤ 22 mole % and 16 mole % at 1700° . The solv. of La_2O_3 and Pr_2O_3 in CaO was 1 mole %; solid solns. based on CaO were unstable. The system contg.

+ ④

C.A. 1973 N12. 79

$2\ Ce_2O_3 \cdot 3\ SrO$

$SrSm_4O_7$

$SrGd_4O_7$; $SrTb_4O_7$

La_2O_3 showed a eutectic structure in the liquidus-solidus region, while in the system $\text{Pr}_2\text{O}_3\text{-CaO}$ (II), a new β -phase was found beginning at 1920° (with a homogeneity region at 2000° and content of CaO 29–33.3 mole %). The temps. of polymorphic transformations in the systems I and II decreased with increased content of CaO . The system $\text{Ce}_2\text{O}_3\text{-CaO}$ was similar to I. The coordinates of a eutectic point: CaO 50 mole % and m.p. 1960° . The system $\text{Nd}_2\text{O}_3\text{-CaO}$ was similar to that contg. Pr_2O_3 , but the temp. region of the β -phase was wider. The 1:1 compds. were formed in the systems from Dy to Yb, but their structures were not identified, except that of CaYb_2O_4 which is similar to Ca ferrite. The compds. formed in a 1:2 and 1:3 ratio (with incongruent m.p.) were also found in the system $\text{CaO-Yb}_2\text{O}_3$, but their structures were not identified. The β -phase (with homogeneity region at 28–36 mole % SrO) was found in the systems $\text{SrO-Ln}_2\text{O}_3$ (where $\text{Ln} = \text{La-Nd}$). $\underline{2\text{La}_2\text{O}_3.3\text{SrO}}$ and $\underline{2\text{Ce}_2\text{O}_3.3\text{SrO}}$ had incongruent m.ps., whereas $2\text{Pr}_2\text{O}_3.3\text{SrO}$ and $2\text{Nd}_2\text{O}_3.3\text{SrO}$ were stable from 1250° to the melting temp. Compds. of 4:5 ratio were also found in the systems $\text{Pr}_2\text{O}_3\text{-SrO}$ and $\text{Nd}_2\text{O}_3\text{-SrO}$. In the systems $\text{SrO-Ln}_2\text{O}_3$ (where $\text{Ln} = \text{Sm}$, Gd , and Dy) compds. of the type $\underline{\text{SrLn}_2\text{O}_7}$ (with congruent m.p. at 1840, 1905, and 2070° , resp.) were formed in place of the β -phase. The temps. of polymorphic transformations decreased with increasing content of SrO . In the systems $\text{EuO-Ln}_2\text{O}_3$ (where $\text{Ln} = \text{La-Lu}$), 1:1 compds. were formed and also a 2:3 compd. in the system contg. Nd_2O_3 . The systems contg. EuO were similar to those based on SrO .

$2\text{Pr}_2\text{O}_3 \cdot 3\text{SrO}$; $2\text{Nd}_2\text{O}_3 \cdot 3\text{SrO}$; | 1972

$\text{Nd}_2\text{O}_3 \cdot \text{BaO}$ (T_m); $\text{La}_2\text{O}_3 \cdot \text{BaO}$; $\text{Ce}_2\text{O}_3 \cdot \text{BaO}$;
 $\text{Pr}_2\text{O}_3 \cdot \text{BaO}$ (T_{min})

~~411-5-2-9-2~~

Луценко Ю. В.

ВЧ IX - 4361

В сб. „Технол. посул. новых материалов“;
Киев, 1972, 181-186

Физические соотношения в системах, в которых
образуются оксиды изоморфозимичных
элементов, чересчур подерганных. Упр.
РНХ. Киев, 1973

75875

E.C.T.B. ~~рассыпка~~

БФ

2 La₂O₃·3 SrO; 2 Ce₂O₃·3 SrO; (T_{IX}) 4750/1972
SrSm₄O₇; SF Gd₄O₇; SrDy₄O₇ (T_m) ~~VTF 5817~~

Лучин И.И., Кузевский А.Е., Герасимов Т.Н., Чевченко А.В., Пономарев Н.Н.,

Джакиров. Степ. Физ. свойств в а
йзёрд. мела, 1972, № 1, 166-72 (русск.)

Реакции окислов редкоземельных
металлов с окислительными, супрон-
ими и щелочными.

SzW/CE₃, Ba₃NdCe₃, Ba₂LaCe₂(Tm) 1972

Vogel G., Schneider R. IX 398)

Inorg. and Nucl. Chem. Lett., 1972, 8, N6.

513-521 (нем.)

Изучение редкоземельных эвтектических сплавов ба-
рдиотинидов с циркониевыми оксидами. XII. Влияние об-
разации соединений кальция и щелочноземельных с кло-
риданами щелочноземельных оксидов

PHKam, 1972

205747

7 5 ④

Sr WO₄ - La(WO₄)₃ (фаз. диагр.) 1973
IX 4426

Евдокимов А.А., Трунов В.К.,
Ж. неорг. хим., 1973, 18, № 2834-41
(русск.)

Синтез и свойства
смесей сульфатов.

5 ②

(ан. оригинал) СА, 1974, 80, N8, 41402 ©

$S_2Eu_2Fe_2O_7$ BOP-4378-IX 1973

Drofenik M. et. al.

(T_{z2})

Mater Res. Bull., 1973, L,
N12, 1337-42 (ann.)

SrEu₂
· Fe₂O₇

11 Б762. Фаза $\text{SrO} \cdot \text{Eu}_2\text{O}_3 \cdot \text{Fe}_2\text{O}_3$ в системе $\text{SrO} - \text{Eu}_2\text{O}_3 - \text{Fe}_2\text{O}_3$. Drofenik M., Kolar D., Golic L
The $\text{SrO} \cdot \text{Eu}_2\text{O}_3 \cdot \text{Fe}_2\text{O}_3$ phase in the system $\text{SrO} - \text{Eu}_2\text{O}_3 - \text{Fe}_2\text{O}_3$. «J. Less-Common Metals», 1973, 30, № 2, 309—310 (англ.)

1973

Методами рентгеновской дифрактометрии ($\lambda \text{Cu}-\text{K}\alpha$) и высокот-рной микроскопии изучено образование трой-

ной фазы $\text{SrEu}_2\text{Fe}_2\text{O}_7$ (I) в системе $\text{SrO} - \text{Eu}_2\text{O}_3 - \text{Fe}_2\text{O}_3$. I получен прокаливанием стехиометрич. кол-в SrCO_3 , Eu_2O_3 и Fe_2O_3 при 1300° многократной гомогенизацией исходной шихты в процессе отжига. I плавится инконгруэнтно при $1590 \pm 15^\circ$ с образованием $2\text{SrO} \cdot \text{Fe}_2\text{O}_3$. I кристаллизуется в тетрагон. сингонии с параметрами элементарной ячейки $a = 5,507$, $c = 19,876\text{\AA}$, ρ (пикном.) $6,64 \pm 0,05$, ρ (рентг.) $6,77 \text{ г}/\text{см}^3$, $Z = 4$. Приведены значения I , d и hkl рентгенограммы порошка I. A. B. Салов

(T_m)

x. 1973 N 11

-4/15-14

09

SrEu₂Fe₂O₇

39-X-4378

1973

BaEu₂Fe₂O₇

53935s Magnetic properties of some rare earth ferrites.
Drofenik, M.; Hanzel, D.; Zupan, J. (Inst. "Jozef Stefan,"
Univ. Ljubljana, Ljubljana, Yugoslavia). *Mater. Res. Bull.*
1973, 8(12), 1337-42 (Eng). Tetragonal SrEu₂Fe₂O₇ and
BaEu₂Fe₂O₇ were investigated by using Moessbauer spectros-
copy and magnetic susceptibility techniques. The measure-
ments of magnetic susceptibility were carried out at 100-700°K.
The data were fitted to Curie-Weiss law by using a nonlinear
least square curve fitting procedure. These compds. are para-
magnetic above 534°K and 537°K resp., with antiferromagnetic
ordering below these temps.

(T_{tr})

C.A.1974.80.110



(+)

(X)

SrEu₂Fe₂O₇

BP-4115-IX 1973

(Tm)

116453q SrO.Eu₂O₃.Fe₂O₃ phase in the system strontium oxide-europium(III) oxide-iron(III) oxide. Drosenik, M.; Kolar, D.; Golic, L. (Inst. "Jozef Stefan," Univ. Ljubljana, Ljubljana, Yugoslavia). *J. Less.-Common Metals* 1973, 30(2), 309-10 (Eng). The crystallog. parameters of the tetragonal compd. SrEu₂Fe₂O₇ (incongruently m. 1590 ± 15°) are a 5.507, c 19.876 Å, d.(exptl.) = 6.64, Z = 4, d.(calcd.) = 6.77.

C.A. 1973, 78 n 18

$S_2 Cu_{1/3} Nd_{2/3} O_3$ (T_{21}) 9
IX 4119. 1973

Динмухадзе Д.Ф., Угрюмова Н.Н.
Веневутс Ю.Н., Жданов Г.С.

Кристаллохимия, 1973, 18, N1, 188-196

Исследование состава $PBZ_2O_3 -$
 $S_2 Cu_{1/3} Nd_{2/3} O_3$

РГУКиР, 1973

115722

5 5 ⑨

Рыб. Оз. Сред (Тм)

184480

1973

Рыб. Оз (Ттц)
Кузбасский А.С.

Б

Именной наст. набор. кобальт мастер,
1970, 186-3 (русск.)

Рыбные отмеченные в сундук-

и из сундуков

~~из пакетов~~ из сундуков

пиротехника

~~из пакетов~~ из сундуков

из сундуков пиротехники. СН, 1973, №5, №2, 130054с.

SrDy₁O₇

1973

Lugin, L.I., et al.

Elektron. Str. Fiz.

Svoistva Tverd Tela

1973, Abstr. NI, I66-72.

(eu. La-Sr; I)

SrGd_yO₇

1973

Zucín, Bož., et al.

Blocktron, Str., Riga.

Svojstva Svord Pola

1973, Abstr. HE, 165-72.

(Tm)

• (cu. La-Sr; I)

SrSm_4O_7

1972

(T_m)

Iugin, B.I., et al.

Elektron. Str. Fiz.

Svoistva Svord Tola

1973, Abstr. HI, 166-72.

● (au. La-Sr; I)

$2\text{Ce}_2\text{O}_3 \cdot 3\text{SrO}$

1973

Lugin, L.I., et al.

Elektron. Str. Fiz.

Svoistva Tverd Tela.

I973, Abstr. NI, I66-72.

(cu. La-Sr; I)

(T_m)

14 Б445. Исследование соединений типа SrLn_2O_4 .
Лопато Л. М., Кущевский А. Е. Дослідження
сполук типу SrLn_2O_4 . «Укр. хім. ж.», 1973, 39, № 1, 7—9
(укр.); «Укр. хим. ж.», 1973, 39, № 1, 7—9 (рус.).

Существены синтез (спеканием Sr_2CO_3 и Ln_2O_3 в атмосфере Ar) ДТА, рентгенографич. (метод порошка, $\lambda \text{ Cu}$) и петрографич. исследование соединений SrLn_2O_3 ($\text{Ln}=\text{Nd}, \text{Sm}, \text{Eu}, \text{Gd}, \text{Tb}, \text{Dy}, \text{Ho}, \text{Er}, \text{Tm}, \text{Yb}, \text{Lu}$). Параметры ромбич. решеток: $a = 9,989\text{--}10,150\text{\AA}$, $b = 11,760\text{--}12,208$, $c = 3,334\text{--}3,570$. Анализ зависимости параметров решеток от порядкового номера Ln в периодич. системе показал, что они уменьшаются в ряду от Nd к Sm и от Gd к Lu. Наблюдаемый скачок в этой зависимости на Gd объясняется особым положением, к-рое он занимает в ряду Ln, разделяя их на цериевую и иттриевую подгруппы. Все соединения плывутся конгруэнтио (кроме SrNd_2O_4 , существующем при сравнительно низких т-рах, до 1370°), причем т-ры плавления возрастают с повышением атомного номера от 2090 (для SrSm_2O_4) до 2240° (для SrLu_2O_4)

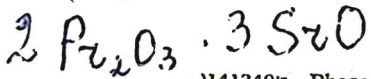
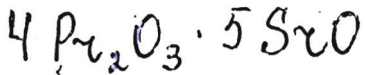
С. В. Соболева

1973

(T_m)

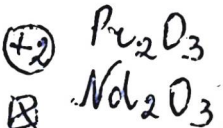
Х. 1973 N 14

1973



141249k Phase diagram of the praseodymium sesquioxide-strontium oxide system. Lopato, L. M.; Lugin, L. I.; Shevchenko, A. V. (Inst. Probl. Materialoved., Kiev, USSR). *Ukr. Khim. Zh. (Russ. Ed.)* 1973, 39(2), 142-4 (Russ). Phase diagrams of the Pr_2O_3 -SrO and Nd_2O_3 -SrO systems are given. $4\text{Pr}_2\text{O}_3 \cdot 5\text{SrO}$ and $2\text{Pr}_2\text{O}_3 \cdot 3\text{SrO}$ are formed. Addn. of SrO lowers the temps. of polymorphic transition for both Pr_2O_3 and Nd_2O_3 .

John Howe Scott

 (T_{tz})


C.H. 1973. 28/122

SrEuFeO₄ изр. № 4727-IX 1974

1 Б776. Фазовые соотношения в системе SrO—Eu₂O₃—Fe₂O₃ и новая тройная фаза Sr₂EuFeO₅. Drögenik M., Kolar D., Gollič L. Phase relations in the system SrO—Eu₂O₃—Fe₂O₃ and a new ternary phase Sr₂EuFeO₅. «J. Less-Common Metals», 1974, 37, № 2, 281—284 (англ.)

Методами рентгенографии, ТГА, металлографии, высокоточной микроскопии и Мессбауэр-спектроскопии изучена система SrO—Eu₂O₃—Fe₂O₃. В системе образуются три тройные фазы SrEuFeO₄ (I), Sr₂EuFeO₅ (II) и SrEu₂Fe₂O₇ (III). I—III конгруэнтно плавятся при 1535±15, 1540±15 и 1590±15°, соотв. II устойчив при нагревании и не теряет кислород до 1300°. I—III имеют тетрагональную структуру с параметрами элементарной ячейки a 3,87, c 12,49 Å (I), a 6,812, c 11,265 Å (II) и a 5,507, c 19,876 Å (III). Для II ρ (пикном.) 5,90, ρ (рентг.) 5,88 г/см³, $Z=4$, ф. гр. $I4/mmm$. А. В. Салов

(Tm)

х. 1975. №1

Sr₂EuFeO₅

1974

18 Б485. Выращивание кристаллов и кристаллографическое исследование Sr₂EuFeO₅. Drosenik M., Kolar D., Golic L. Crystal growth and crystallographic study of Sr₂EuFeO₅. «J. Cryst. Growth», 1974, 21, № 2, 305—306 (англ.)

Взаимодействием смеси SrCO₃, Eu₂O₃ и Fe₂O₃ при т.-ре 1400° получены порошковые образцы Sr₂EuFeO₅ (I). Нагреванием их с SrCO₃ до общей т. пл. 1540° выращены монокристаллы того же состава. Рентгенографич. исследование (метод порошка и монокристалла) позволило определить параметры тетрагональной решетки I: а 6,812, с 11,263 Å, ф. гр. *I4/mmm* выбрана в предпочтении перед остальными возможными. Состав I подтвержден данными электронного микрозонда.

С. В. Соболева

(Tm)

Х. 1974. N 18

$\text{Sr Nd}_6 \text{Mo}_4 \text{O}_{22}$

1974

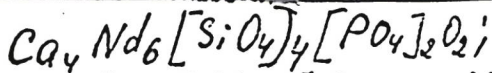
Регоров - Н. Ф.,
и др.

(T_m)

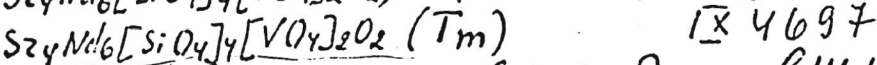
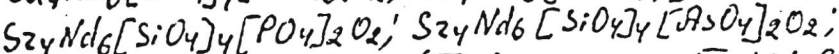
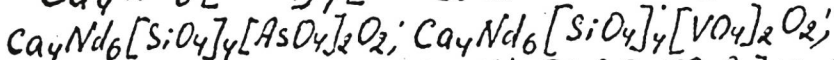
Тез. Докл. 4^{го} Всес. совещания
высокотемперам. хим. хим.
Оксидов.

I

[cu. $\text{Ba Nd}_2 (\text{MoO}_4)_4$]



1974



Федоров Н.Ф., Андреев И.Ф., Язиков Ш.Ю.
Узб. Академия наук. Узб. Академия наук. Узб. Академия наук.

№ 1563-1565.

Синтез и исследование оксидонитридов
состава $M_4Nd_6[SiO_4]_4[AsO_4]_2O_2$.

РНХИОН, 1974

24B2Y



10

5 (P)

IX-4852

1974

La_{0.5}Sr_{0.5}Co₃(Tl₂)

Rao C.N.R., Bhide U.C.,

Amer. Inst. Phys. Conf. Proc., 1974,

18, Pt 1, 504-512

5

Ln_{3-x}Sr_xCoO₃ (measured. ab-ha) 1974

88178z Crystallographic, electric, and thermochemical properties of the perovskite-type lanthanide element strontium cobalt oxide ($\text{Ln}_{1-x}\text{Sr}_x\text{CoO}_3$). Ohbayashi, Hidehito; Kudo, Tetsuichi; Gejo, Tetsuo (Cent. Res. Lab., Hitachi Ltd., Tokyo, Japan). *Jap. J. Appl. Phys.*, 1974, 13(1), 1-7 (Eng). The perovskite-type compds. $\text{Ln}_{1-x}\text{Sr}_x\text{CoO}_3$ (Ln = lanthanide element) were synthesized, and their crystallog., elec., and thermochem. properties were investigated. The region of perovskite formation was detd. At lower Sr contents, lanthanide ions, La to Sm except Ce, form perovskite-type Co oxides. From Eu to Er, the lower boundary of the perovskite formation increases as the at. no. increases. The relaxation of a rhombohedral distortion of $\text{La}_{1-x}\text{Sr}_x\text{CoO}_3$, as Sr content is changed, is quant. described. At certain levels of Sr content, the compd. shows that its temp. coeff. of resistivity is small over a wide temp. range. The resistivity and the nonstoichiometry of the compds. have a close relation in that the resistivity increases as the O deficiency is increased.

C.A.
1974
82 N/6

$\text{La}_{1-x}\text{Sr}_x\text{CrO}_3$ (Tcurie) 1974

Rao C.N.R.,

J. Indian Chem. Soc., 1974,
51 (12), 979-87.

Localized versus collective
behavior of d-electrons in...

C.A. 1975, 83 N24. 201143m

SrCeO₃ (Tz)

IX 4698 1974

Соловьев А.Е., Тверин А.Н.
Узб. Акад ССР. Неорган. материалы,
1974, 10, № 1549-1550

Твердые растворы и фазовые
переходы в системе SrCeO₃-SrHfO₃

Р14. Xум, 1974
246756

Есть

БФ

Sr Zr O_3 ; $\text{Sr}(\text{Zr}_{0,75}\text{Ce}_{0,25})\text{O}_3$ (T_{t_2})¹⁹⁷⁴

Соловьева А. З., ЛХ 4621

Завршин A. M., Зоз E. U.,

Изв. АН СССР. Сер. неорганич. материа-
лами, 1974, 10, N 3, 469-72

5, № 4

1975

$$\text{Sr}_2\text{Ln}_8 \cdot (\text{GeO}_4)_6 \text{O}_2$$

$$(T_m)$$

12 В14. Синтез и исследование стронциевых окси-германатапатитов РЗЭ $\text{Sr}_2\text{Ln}_8[\text{GeO}_4]_6\text{O}_2$. Федоров Н. Ф., Андреев И. Ф., Лукашов И. Л. «Сб. тр. Ленингр. технол. ин-т им. Ленсовета», 1975, вып. 3, 3—7

Получены оксигерманатапатиты стронция и РЗЭ состава $\text{Sr}_2\text{Ln}_8[\text{GeO}_4]_6\text{O}_2$ (I) где $\text{Ln} = \text{Sm}, \text{Eu}, \text{Gd}, \text{Dy}, \text{Ho}$. Синтез проводился в печах с силитовыми нагревателями ступенчато в интервале $1100—1400^\circ$ до достижения постоянного соотношения фаз или мономинеральности образцов. I изучены кристаллооптич., рентгенографич., ИК-спектроскопич. методами, а также методом высокотройной микроскопии. Т. пл. I $1650—1700^\circ$. Приведены значения hkl , I и d рентгенограмм порошка I. Вычислены параметры элементарной ячейки, определены средние показатели преломления I. Показано, что с возрастанием порядкового номера атомов РЗЭ параметры и объем элементарной ячейки; а также средние показатели преломления уменьшаются, а плотность линейно возрастает. Проведен сравнительный анализ физ.-хим. св-в I и нек-рых силикатных и германатных аналогов.

В. К. Андреев

Х 1976 N 12

$\text{SrEu}_2\text{Fe}_2\text{O}_7$

1975

(Nat)

Hanzel D

J. Stefan Inst. Univ. Ljubljana,
Yugoslavia). Proc. - Int. Conf.
Moessbauer Spectrosc., 5th 1973
(Pub. 1975). 1-3, 140-5' (Eng).

as. $\text{BeEu}_2\text{Fe}_2\text{O}_7$ -

$S_{2,2} Sm_8 [GeO_4]_6 O_2$, $Eu_8 S_{2,2} [GeO_4]_6 O_2$, | 1975

$S_{2,2} Gd_8 [GeO_4]_6 O_2$, $S_{2,2} Dy_8 [GeO_4]_6 O_2$,

$S_{2,2} Ho_8 [GeO_4]_6 O_2$ (Tm)

Федоров Н. Ф., Андреев А. Ф.,

Лукашов Д. Л. $\overline{IX}-5,277$

С. С. инж. Пензенск. технол. ин-та Ур. Политехн. ин-та,
1975, № 3113, З, З-3.

Синтез и исследование структурных со-
вершенстваний редкоземельных $S_{2,2} Ln_8 [GeO_4]_6 O_2$.

РДН № 100, 1976

12 В 14

16/5 (P)

Горячев, Соболев, Соловьев, Ткачев
60426.7557 41273 1976
Ph, Ch, TC LnF₃-SrF₂ OT. 4371.

II Interaction of LnF₃ пред. with M₂F₂
M=Ca, Sr, Ba; change in
structural type in the LnF₃ series, and
thermal characteristics. "J. Solid State
Chem.", 1976, 17, N 1-2, 201-212 (англ.)

ОБОЛЮДИ

585 587

592

ВИНИТИ

1976

SrO·CeO₂

10 Б672. Термические равновесия в бинарных системах $MgO-CeO_2$, $CaO-CeO_2$, $SrO-CeO_2$, $BaO-CeO_2$. Preda Maria, Dinescu Radu. Thermal equilibria in the binary systems $MgO-CeO_2$, $CaO-CeO_2$, $SrO-CeO_2$, $BaO-CeO_2$. «Rev. roum. chim.», 1976, 21, № 7, 1023—1030 (англ.)

Методами термич. и рентгенофазового анализов исследовано взаимодействие в бинарных системах $MgO-CeO_2$ (1), $CaO-CeO_2$ (2), $SrO-CeO_2$ (3) и $BaO-CeO_2$ (4). Образцы готовили спеканием при 1200—1600° карбонатов щел.-зем. металлов с CeO_2 . Представлены фазовые диаграммы систем. Система (1) — эвтектич. типа с т. пл. 12100° при 70 мол. % MgO . В системе (2), помимо эвтектики при 53 мол. % CaO и с т. пл. 1800°, обнаружено соединение $CaO\cdot CeO_2$ в тв. фазе. В системе (3) образуется метацеррат $SrO\cdot CeO_2$ в куб. структурой типа перовскита (высокот-рияя фаза) *a* 4,236 Å и тетрагон. структурой (низкот-рияя фаза) *a* 4,29 и *c* 3,50 Å. Соединение $SrO\cdot CeO_2$ конгруэнтно пла-

(Tm)

Х, 1977, N10

вится при 1900° . В системе образуются две эвтектики: $\text{SrO}-\text{SrO}\cdot\text{CeO}_2$ при 70 мол. % SrO (т. пл. 1650°) и $\text{SrO}\cdot\text{CeO}_2-\text{CeO}_2$ при 28 мол. % SrO (т. пл. 1760°). В системе (4), аналогично системе (3), образуются две формы метацерата Ba (куб., а $4,431 \text{ \AA}$; тетрагон. а $4,30$ и с $3,46 \text{ \AA}$) и две эвтектики: при 63 мол. % BaO (т. пл. 1480°) и при 35 мол. % BaO (т. пл. 1550°). Максим. р-римость оксидов щел.-зем. металлов в CeO_2 : 3 (MgO), 15 (CaO), 14 (SrO) и 7 мол. % (BaO).

Л. Г. Титов



SrLaFeO₄; La = La, Pr, Nd, Sm. 1976

85: 185946j Moessbauer effect of strontium rare earth iron oxide (SrLnFeO_4) (Ln = lanthanum, praseodymium, neodymium, samarium, europium, gadolinium). Shimada, M.; Koizum, M. (Inst. Sci. Ind. Res., Osaka Univ., Osaka, Japan). *Mater. Res. Bull.* 1976, 11(10), 1237-40 (Eng). The Moessbauer effect was studied in SrLnFeO_4 compds. (Ln = La, Pr, Nd, Sm, Eu, Gd) with K_2NiF_4 structure at 80-459°K. The Neel temp. was $330 \pm 5^\circ\text{K}$ for SrLaFeO_4 , $250 \pm 5^\circ\text{K}$ for SrPrFeO_4 , $270 \pm 5^\circ\text{K}$ for SrNdFeO_4 , and $400 \pm 10^\circ\text{K}$ for SrSmFeO_4 . The results of the combined magnetic and quadrupole interactions indicated that the direction of internal magnetic field is perpendicular to the Z-axis of the elec. field gradient tensor and parallel to the c-axis of the crystal structure.

(Neel)

C.A. 1976. 85 N 24

$\text{Eu}_2\text{O}_3 - \text{SrO} - \text{V}_2\text{O}_3$
(spec. group.)

1976

85: 83750y The system europium oxide-strontium oxide-vanadium oxide ($\text{Eu}_2\text{O}_3\text{-SrO-V}_2\text{O}_3$) at 1400°C. Shinike, T.; Sakai, T.; Adachi, G.; Shiokawa, J. (Dep. Chem., Osaka Dent. Univ., Hirakata, Japan). *Mater. Res. Bull.* 1976, 11(7), 801-6 (Eng). Phase relations in a portion of the system $\text{Eu}_2\text{O}_3\text{-SrO-V}_2\text{O}_3$ were studied at 1400° and a reduced pressure (10^{-4} torr). On heating, part of the trivalent V was oxidized to the tetravalent state by atm. O. The following ternary-phase solid solns. were identified: $\text{Eu}_{1-x}\text{Sr}_x\text{VO}_3\text{-0.1x}$, $\text{SrO.2Eu}_{1-x}\text{Sr}_x\text{VO}_3\text{-0.1x}$ and $\text{SrO-Eu}_{1-x}\text{Sr}_x\text{VO}_3\text{-0.1x}$.

Dec. 11, 1976

c.A. 1976 85 n12

IX-3034

1976

$\text{Eu}_2\text{O}_3 - \text{SrO} - \text{V}_2\text{O}_3$ (payol. garn)

Shinike T., Sakai T., Adachi G.,
Sekioka J.

Mater. Res. Bull., 1976, 11, N.Y., 801-808

5

CA, 1976, 85, N12, 83,750,4

1976

$\text{Sr}_2\text{NdAlO}_5$

$\text{Sr}_2\text{NdAlO}_4$; $\text{SrNd}_2\text{Al}_2\text{O}_7$

11 Б1106. Система $\text{SrO}-\text{Nd}_2\text{O}_3-\text{Al}_2\text{O}_3$. Уда-
лов Ю. П., Сальмон Р. С., Бондарь И. А.
«Ж. неорган. химии», 1976, 21, № 2, 541—546

Методом расчета на основе теории регулярных и
идеальных р-ров с эксперим. проверкой двух разрезов
изучена диаграмма состояния тройной системы $\text{SrO}-$
 $\text{Nd}_2\text{O}_3-\text{Al}_2\text{O}_3$. В системе обнаружены три тройных
соединения $\text{Sr}_2\text{NdAlO}_5$, SrNdAlO_4 и $\text{SrNd}_2\text{Al}_2\text{O}_7$, плавя-
щихся инконгруэнтно. Резюме

(Tin)

x 1976 N 11

Sr₂NdAlO₅

1976

SrNdAlO₄

SrNd₂Al₂O₇

84: 141338n Strontium oxide-neodymium oxide-aluminum oxide system. Udalov, Yu. P.; Salmon, R.; Bondar, I. A. (Inst. Khim. Silik-im. Grebenshehikova, Leningrad, USSR). *Zh. Neorg. Khim.* 1976, 21(2), 541-6 (Russ). In the title system, the incongruously melting Sr₂NdAlO₅, SrNdAlO₄, and SrNd₂Al₂O₇ were found and the phase diagram of the system was examined, in terms of the theory of ideal and regular solns. The x-ray diffraction data and crystallooptical properties are given for all 3 compds.

M. Kalfus

C.A.1976 84 n20

Sr₂TaNdO₆

1974

Бегоров Г. Г. исп.

(Tm)

"H. neopurp. химия" 1977,
22, №11, 3158-3160

coll. Ca₂TaNdO₆ - I

1977

$\text{SrTb}_2\text{Fe}_2\text{O}_7$

$\text{SrEu}_2\text{Fe}_2\text{O}_7$

SS: 57668v Study of strontium terbium ferrite ($\text{SrTb}_2\text{Fe}_2\text{O}_7$), strontium europium ferrite ($\text{SrEu}_2\text{Fe}_2\text{O}_7$) by the Moessbauer effect. Hanzel, D.; Sevsek, F. (J. Stefan Inst., Univ. Ljubljana, Ljubljana, Yugoslavia). *Fizika (Zagreb)* 1977, 9(Suppl. 1), 101 (Eng). The Moessbauer effect measurements of the hyperfine interaction of ^{57}Fe at various temps. in $\text{SrEu}_2\text{Fe}_2\text{O}_7$ and $\text{SrTb}_2\text{Fe}_2\text{O}_7$ are discussed, and the spin reorientation of Fe in $\text{SrTb}_2\text{Fe}_2\text{O}_7$ was obsd. The antiferromagnetic to paramagnetic transition was estd. as 544 ± 2 and 542 ± 1 K for Eu and Tb ferrites, resp. A power law describing the effective magnetic field in both compds. near the transition temp. is given. This power law shows that both compds. behave as 3-dimensional Ising systems.

T₂

(+1)

A



C.A. 1978, N8

$\text{Sr}_{x}\text{Eu}_2\text{Fe}_2\text{O}_7$

1977

Hansel D., et al.

T_{tr}

Fizika (Zagreb) 1977,
9 (Suppl. 1), 101 (Eng)



all. $\text{SrTi}_2\text{Fe}_2\text{O}_7$ -I

1977

SrTb₂Fe₂O₇

87: 192914s Strontium terbium ferrate ($\text{SrTb}_2\text{Fe}_2\text{O}_7$) studied by Moessbauer spectra of iron-57. Hanzel, D. (J. Stefan inst., Univ. Ljubljana, Ljubljana, Yugoslavia). *J. Magn. Magn. Mater.* 1977, 5(3), 243-6 (Eng). The temp. dependence of the hyperfine parameters of ^{57}Fe in $\text{SrTb}_2\text{Fe}_2\text{O}_7$ gave a magnetic ordering temp. $T_N = 542$ K, satn. effective magnetic field $H_{eff}(0) = 552$ kG, and Debye temp. $\theta_D = 330$ K. The principal axis of the elec. field gradient tensor V_{zz} is angled at 9° to the crystallog. c axis. Moessbauer spectra at 4.2 K reveal reorientation of Fe spin.

(Tveel)

C.A. 1977, 87, No. 4

1977

Индия

(см. конф., выше)



(различные
рекции)

Khattak C.P. and al.

in: Argonne Natl. Lab. [rep]

ANL 1977, ANL-77-21.

Conf. High Temp. Sci.

P 160-164 Open Cycle, Coal-Fired MHD system

~~29.~~

$\text{Eu}_x \text{Sr}_{1-x} \text{S}$

1977

$\text{Eu}_x \text{Sr}_{1-x} \text{O}$

86: 181893n Ferromagnetic ordering and photoluminescence of europium strontium sulfide ($\text{Eu}_x\text{Sr}_{1-x}\text{S}$) and europium strontium oxide ($\text{Eu}_x\text{Sr}_{1-x}\text{O}$). Westerholz, K.; Ghosh, B.; Siratori, K.; Methfessel, S.; Petzel, T. (Inst. Experimentalphys. IV, Ruhr-Univ. Bochum, Bochum, Ger.). *Physica B + C (Amsterdam)* 1977, 86-88B+C, Pt. 2, 740-2 (Eng). The ferromagnetic Curie temps. of the solid soln. systems $\text{Eu}_x\text{Sr}_{1-x}\text{S}$ and $\text{Eu}_x\text{Sr}_{1-x}\text{O}$ show rather different concn. dependences. This result is analyzed by making 2 spin cluster calcns. Addnl. information is obtained about short range magnetic ordering by studying the photoluminescence of the $4f^7-4f^65d$ optical transition, which is strongly influenced by the spin ordering.

(Curie)

C.A. 86 N^a 4 (1977)

SrLaCrO₄

49/5

IX - 5700

1978

20 Б944. Физические свойства магнитных 2-D окислов, содержащих Cr³⁺, (SrCaR)₂(Cr_xGa_{1-x})O₄ (R=La или Sm). A so Koichi. Physical properties of magnetic 2-D oxides containing Cr³⁺, (SrCaR)₂(Cr_xGa_{1-x})O₄, (R=La or Sm). «J. Phys. Soc. Jap.», 1978, 44, № 4, 1083—1090 (англ.)

Проведено рентгенографич., магнитное и термич. исследование двухподрешеточных антиферромагнитиков SrLaCrO₄ (I), Sr_{3/4}Ca_{1/4}LaCrO₄ (II), SrSmCrO₄ (III) и тв. р-ров SrLaCr_xGa_{1-x}O₄ (IV), полученных по керамич. технологии. В тв. р-рах $x=0,96; 0,93; 0,90; 0,85; 0,825; 0,80; 0,76; 0,72$. Синтез проводился обжигом брикетированных смесей окислов вначале при 1000° в атмосфере N₂, затем при 1350°. Полученные хромиты изоморфны K₂NiF₄. Большинство из в-в являются хорошими изоляторами, за исключением II и III, сопротивление к-рых при 20° 10⁴ и 10⁵ ом·см указывает на возможность присутствия иных степеней окисления Cr и возникновения электронного обмена. Измерения магн. восприимчивости χ I проведены при 80—900°К в полях до 10 кэ. Установлен размытый максимум χ при 470°К

Х. 1978, № 20

и точка перегиба при 242° К, к-рая является т-рой Нееля. T_N определены также термографич. методом для II и III и равны 270 и 306° К. Аномальная зависимость параметров решетки I и III от т-ры указывает на сильную обменную строекцию в области 200° К. Вычислены и сравнены с теор. параметры обменного взаимодействия J/K . Преобладающим типом магнитного взаимодействия является обмен между слоями $\text{Cr}^{3+}-\text{O}^{2-}-\text{Cr}^{3+}$. Т-ры Нееля в магнитно-разб. тв. р-рах IV описываются ур-нием $T_N(x) = T_N(1)[1 - 3,6(1-x)]$ для области составов от $x=0,825$ до $x=1,0$.

Л. А. Резницкий

ся в
ЦИР

SrLaCrO₄ 4971. IX-5 Nov 1978

88: 202140y Physical properties of magnetic 2-D oxides containing chromium(3+), $(\text{SrCaR})_2(\text{Cr}_x\text{Ga}_{1-x})\text{O}_4$, (R = La or Sm). Aso, Koichi (Res. Cent., Sony Corp., Yokohama, Japan). *J. Phys. Soc. Jpn.* 1978, 44(4), 1083-90 (Eng). X-ray, magnetic and differential thermal anal. studies show that SrLaCrO₄, $\text{Sr}_{3/4}\text{Ca}_{1/4}\text{LaCrO}_4$ and SrSmCrO₄ isomorphous to tetragonal K₂NiF₄ are magnetically 2-dimensional Heisenberg-like antiferromagnets with Neel temps. T_N of 242 and 306 K, resp. The exchange const. of SrLaCrO₄ estd. from the paramagnetic susceptibility consists of that estd. from Stanley and Kaplan's formula (1966) for T_N of a 2-dimensional antiferromagnet with an accuracy of several percent. The exchange striction is obsd. to be neg. along the a -axis and pos. along the c -axis for the substances studied. The strain components c_{xx} and c_{zz} extrapolated to 0 K are $-(6 \sim 7) \times 10^{-4}$ and $+(4 \sim 7) \times 10^{-4}$, resp. These values are about 1/10 of the calcd. value. The Neel temps. in the dild. system SrLaCr_xGa_{1-x}O₄ are expressed as $T_N(x) = T_N(1)[1 - d(1 - x)]$ with $d = 3.6$ in the compn. range $0.825 \leq x \leq 1$.

C.A. 1978, 88, 126

$\text{La}_{1-x}\text{Sr}_x\text{CoO}_3$

1978

92: 6342v. Measurement of heat capacities of $\text{La}_{1-x}\text{CoO}_3$. Horinouchi, Kazuo; Takahashi, Yoichi; Fueki, Kazuo (Sumitomo Alum. Seiren K. K., Japan). *Sogo Shikensho Nenpo*. (*Tokyo Daigaku Kogakubu*) 1978, 38, 203-6 (Jpn). Heat capacities of LaCoO_3 and $\text{La}_{0.5}\text{Sr}_{0.5}\text{CoO}_3$ were measured by the laser-flash method at 80-950 K. A higher-order phase transition in the interval $400 \leq T \leq 650$ K in the case of LaCoO_3 and a ferromagnetic phase transition at 230 K in the case of $\text{La}_{0.5}\text{Sr}_{0.5}\text{CoO}_3$ were obsd.

C_p ; T_{cr}

C.A. 1980.92, N16

1378

Sr-Nd

Ba-Nd

 β -Nd sol.page b.
quartz.

88: 177852x Strontium-neodymium and barium-neodymium phase diagrams. Eshonov, K. K.; Zukhuritdinov, M. A.; Vakhobov, A. V.; Dzhuraev, T. D. (Dushanbe, USSR). *Izv. Akad. Nauk SSSR, Met.* 1978, (1), 191-2 (Russ). Sr-Nd and Ba-Nd alloys were prep'd. and annealed in evacuated quartz tubes at 400-600° and examd. for their structure by DTA and x-ray diffraction. The Sr-Nd system is characterized by limited solv. of the components. The immiscibility region extends from 0.8 to 87 at.% Nd. The Sr solv. in solid Nd is substantial (~4.5 at.% at 400°) which increases the microhardness of the α -solid soln. The lattice parameters of Nd contg. the max. amt. of dissolved Sr are $a = 3.938$ and $c = 10.758$ Å. The solv. of Nd in Sr is very low although a eutectic forms at 0.6 at.% Nd and 470°. Sr addns. have no effect on the temp. of the polymorphic transformation in Nd. The Ba-Nd system is also characterized by a pronounced immiscibility of the components both in the liq. and solid states. In the liq. state, the immiscibility region occurs at 15-96 at.% Nd. The solv. of Ba in β -Nd at 1010° is ~1.5 at.%. Ba dissolved in Nd lowers its m.p. and increases the temp. of the polymorphic transformation. No binary compds. were obsd.

C.A. 1978, 88, N24

$\text{Eu}_{1-x}\text{Sr}_x\text{Si}_2$

057004 6928

1978

(*conflykryzna*) Evers J; et al.

J. Less-Common Metals
1978, 60, 242-52

$\text{La}_{1-x}\text{Sr}_x\text{CoO}_3$

1979

(T_{tr})

92: 156854s Ferromagnetic resonance in \pm -Zirconium(2+)-doped rare earth orthocobaltites, $\text{Lu}_{1-x}\text{Sr}_x\text{CoO}_3$. Bahadur, D.; Kollali, Sheelavathi; Rao, C. N. R.; Patni, M. J.; Srivastava, C. M. (Solid State Struct. Chem. Unit, Indian Inst. Sci., Bangalore, 560012 India). *J. Phys. Chem. Solids*, 1979, 40(12), 981-5 (Eng). Ferromagnetic resonance measurements were performed on $M_{1-x}\text{Sr}_x\text{CoO}_3$ ($M = \text{La, Pr, Sm, Nd}$). An effective g-factor of ~ 1.25 was obsd. in each compd. attributed to localized intermediate-spin Co^{3+} ions located at the top of the π^* band. The magnetization force, and Curie temp. of each sample were detd. from and hysteresis measurements.

(4)

B



C.A. 1980. 92, NIS

$P_{t-x} Sr_x Co O_3$

1979

Bahadur D., et al.

(T_{tr})

J. Phys. Chem. Solids 1979,
40(12), 981-5.



cut. $L_{t-x} Sr_x Co O_3 - \bar{1}$

$Nd_{1-x} Sr_x Co O_3$

1549

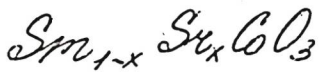
Bahadur D., et al.

(T_{c2})

J. Phys. Chem. Solids 1979,
40(12), 981-5.



corr. $La_{1-x} Sr_x Co O_3 - I$



1979

Bahadur D., et al.

J. Phys. Chem. Solids 1979,
40(12), 981-5.

(Tc2)



Eu_xSr_{1-x}S

1979

15 Б877. Появление ферромагнетизма в Eu_xSr_{1-x}S

около $x=0,5$. Convert P., Maletta
Onset of ferromagnetism in Eu_xSr_{1-x}S near $x=0,5$
«Phys. Rev. Lett.», 1979, 42, № 2, 108—111 (англ.)

*фазовый
переход*

Путем исследования дифракции нейтронов в области углов $4^\circ < 2\theta < 84^\circ$ при длине волны 2,52 Å, при т-рах ниже 7° К изучено магнитное фазовое превращение из состояния с разупорядоченными спинами в ферромагнитное состояние в Eu_xSr_{1-x}S (I) при $x=0,40; 0,50; 0,52$ и $0,54$. Обнаружено, что крит. конц-ия для перехода составляет $x_c=0,51$. Построена $T-x$ -фазовая диаграмма. При x выше x_c магнитные микродомены существуют с дальним ферромагнитным упорядочением. Проведено непосредственное определение нарушения ферромагнитного порядка в микродоменах, вызванного уменьшением т-ры. Предложена модель фазового перехода и проведено сопоставление св-в I и AuFe.

Г. Л. Апарников

г. 1979, N 15

SrZn_2S_4

1979

Ishida Y., et al

"High-Press. Sci. and Technol.
Proc. 6th. AIRAPT. Conf.

Boulder, Colo. 1977. Vol 1"

New York - London, 1979, 1026-32.

суміз,
наповнені
порошку
(cp)

(see EuZn_2S_4)

Al-Sr-Nd

1979

Sr - Nd - Al

pazobas
guarfi.

91: 146564n Phase diagram of aluminum-strontium-neo-dymium. Vakhobov, A. V.; Eshonov, K. K.; Dzhuraev, T. D. (Dushanbe, USSR). *Izv. Akad. Nauk SSSR, Met.* 1979, (4), 188-92 (Russ). The liquidus surface for the Al-Sr-Nd surface was constructed from microhardness, DTA, microstructural, and x-ray phase anal. data. Projection onto the concn. surface shows 10 crystn. regions. The combined solv. of Sr and Nd in Al <0.6 at.%. The Al-Sr system contains SrAl_2 and Sr_2Al_3 (previously reported) and eutectics at Sr 3.2, 77 at.% and 635, 580°, resp.

C.A.1079.GN18

Al-Sr-Nd

1979



(сплав)

87-

Nd-Al

15 Б709. Активность стронция в сплавах с алюминием и неодимом. Вахобов А. В., Эшонов К. К., Джураев Т. Д. «Ж. физ. химии», 1979, 53, № 4, 869—871

Приводятся результаты расчета активности стронция в двойных сплавах с алюминием и в тройных сплавах системы Al—Sr—Nd. Показано, что система Al—Sr как и системы Al—Сa и Al—Ba, относится к сильно взаимодействующим. Добавление неодима сплавы системы Al—Sr вызывает пропорциональное изменение коэф. активности стронция.

Автореферат



2.1979, N15

1980

 $\text{Eu}_x\text{Sr}_{1-x}\text{S}^y$

2 Б762. Спиново-волновые моды и низкотемпературная теплоемкость в спиновых стеклах $\text{Eu}_x\text{Sr}_{1-x}\text{S}$ при

$x=0,54$ и $0,40$. Ching W. Y., Huber D. L., Leung K. M. Spin-wave modes and low-temperature specific heat in the spin-glass $\text{Eu}_x\text{Sr}_{1-x}\text{S}$: $x=0,54$ and $0,40$. «Phys. Rev. B: Condens. Matter», 1980, 21, № 8, 3708—3712 (англ.)

(C_P)

Изучены линейные спиново-волновые моды и их вклад в теплоемкость непроводящих спиновых стекол $\text{Eu}_x\text{Sr}_{1-x}\text{S}$ при $x=0,54$ и $0,40$. Спиновые волны идентифицированы как коллективные возбуждения, появляющиеся при линеаризации ур-ний движения спинов около их равновесных ориентаций. Последние были найдены с помощью процедуры минимизации энергии путем поворотов спинов в направлении их локального поля. Энергии и локализац. индексы спиново-волновых мод рассчитаны диагонализацией динамич. матрицы для ансамблей, содержащих 270 ($x=0,45$) и 345 ($x=0,40$)

X. 1981 № 2

спинов с периодич. граничными условиями. Найденные плотности состояний заметно сдвинуты вниз к энергиям порядка 0,1 К. Значения локализаций индексов показывают, что за исключением высокочастотной части спектра, почти все моды делокализованы. Из сравнения результатов расчета с эксперим. данными следует, что спиновые волны ответственны за 70—80% теплоемкости при т-ре 0,3 К, с понижением т-ры их вклад в теплоемкость еще возрастает. Увеличение расхождений между эксперим. и теор. значениями теплоемкости с повышением т-ры отнесено за счет ограничений на применимость линейной теории.

Резюме



EuSr_3

1980

Devotges D, et al.

Phys. Status Solidi B 1980,
102 (1), 331-41

(C_p)



c/w. AuFe-T

$\text{La}_{2-x}\text{Sr}_x\text{CoO}_4$

1980

93: 18012k Magnetic behavior of lanthanum cobalt oxide (La_2CoO_4) and related solids. Ganguly, P.; Ramasesha, Sheela (Solid State Struct. Chem. Unit, Indian Inst. Sci., Bangalore, 560012 India). *Magn. Lett.* 1980, 1(5-6), 131-8 (Eng). The magnetic susceptibility of $\text{La}_{2-x}\text{Sr}_x\text{CoO}_4$ ($x = 0, 1$, and 1.5) were measured at 90-900 K. La_2CoO_4 shows a broad max. around 525 and a spike at 405 K. DSC studies show 4 phase transitions. The results are interpreted in terms of 2-dimensional and 3-dimensional antiferromagnetic ordering. LaSrCoO_4 and $\text{La}_{0.5}\text{Sr}_{1.5}\text{CoO}_4$ show deviations from the Curie-Weiss law. This can be attributed to short-range ordering.

T_{fr}

CA 1980 93 n2

$\text{Sr}_2\text{EuRuO}_6$

1980

Gibb J.C., et al.

(T_{tr})

J. Solid State Chem.,
1980, 34, N3, 279-288

err. Corr Eu Ru O₆-?

1980

$\text{SrF}_2\text{-LaF}_3$

92: 153785j Tentative strontium fluoride-lanthanum fluoride phase diagram. Holcombe, C. E. (Union Carbide Nucl. Div., Oak Ridge Y-12 Plant, Oak Ridge, TN 37830 USA). *J. Am. Ceram. Soc.* 1980, 63(1-2), 112 (Eng). The liquidus curve was constructed from DTA results. Melting pts. were examd. by

pazob.
gray.

x-ray diffraction. The SrF_2 -base solid soln. has a max. m.p. 1835 K at ~25 mol % LaF_3 . A eutectic occurs at 1720 K and 70 mol % LaF_3 . A mixt. of SrF_2 -base and LaF_3 -base solid solns. extends from 57 to 83 mol % LaF_3 . These results were obtained as part of a study of corrosion resistance in $\text{H}_2\text{-F}_2$ atm.

C.A. 1980, 92, N18

Eu_x Sr_{1-x} S

1980

✓92: 83525y Specific heat of insulating spin-glasses, (europium, strontium) sulfide, near the onset of ferromagnetism. Meschede, D.; Steglich, F.; Felsch, W.; Maletta, H.; Zinn, W. (II. Phys. Inst., Univ. Koeln, 5000 Cologno, Fed. Rep. Ger.). *Phys. Rev. Lett.* 1980, 44(2), 102-5 (Eng). The heat capacity, $C(T)$, of the insulating spin-glass $\text{Eu}_x\text{Sr}_{1-x}\text{S}$ with $x = 0.40$ exhibits a linear γT and no singularity at T_f , like metallic spin-glasses. A new term, δT^{-2} , is found which may arise from totally decoupled clusters created by frustration. The field dependence, $\gamma(B)$ and $\delta(B)$, show max. With $x = 0.54$, the behavior is similar. $C(T,B)$ and $\chi(T,B)$ there indicate the spin-glass phase to be suppressed at $B = 1 \text{ T}$.

(Cp)

CA 1980 92 n10

SrLaFeO₄ 14 Б462. Фаза SrLaFeO₄: кристаллическая и магнитная структура. Soubeugoux J., Courbin P., Fourches L., Fruchart D., Lienard G.: La phase SrLaFeO₄: structures cristalline et magnétique. «J. Solid State Chem.», 1980, 31, № 3, 313—320. (франц.; рез. англ.)

(Ttг) Осуществлен синтез (взаимодействием SrCO₃, La₂O₃ и Fe₂O₃ при т-ре 1350° в атмосфере Ar, нейtronографич. (λ 2,52 Å, метод порошка, МНК, $R=0,018$), спектроподобная структура с локализацией Fe³⁺ в октаэдрич. положениях 2a и статистич. распределением La³⁺ и Sr²⁺ по октаэдрич. положениям 4e. Параметры тетрагональной решетки: a 3,880, c 12,76 Å; при 473 К 3,885, 12,784; при 4,2 К 3,878, 12,713. Нейtronографич. исследование, проведенное при т-рах 473 и 4,2 К показало, что соотв-щие этим т-рам структуры практически идентичны. При 473 К Fe—O в экваториальной плоскости октаэдра 1,9425, в осевом направлении 2,154 Å; отношение (Fe—O)_{ос.}/(Fe—O)_{экв.} при 473 К 1,11, при 4,2 К 1,10. Магнитная ячейка характеризуется параметром

1980
Б9 - 18 - 5684

рами $a_{\text{магн}} = 2a$, $c_{\text{магн}} = c$. Проведен анализ магнитной восприимчивости в интервале температур 4,2—1000 К, магнитный момент при 4,2 К составляет $4,23 \mu_B$. Выявлено сильное антиферромагнитное взаимодействие между соседними катионами Fe^{3+} . Т-ра магнитного упорядочения равна 380 К.

С. В. Соболева

σ_M
му 1

талью.

10 Б366. Синтез и исследование метастабильного соединения $\text{Sr}_3\text{La}_4\text{O}_9$. Schulze A.-R., Müller-Buschbaum H. k. Darstellung und Untersuchung der metastabilen Verbindung $\text{Sr}_3\text{La}_4\text{O}_9$. «Z. anorg. und allg. Chem.», 1980, 471, № 12, 59—63 (нем.; рез. англ.)

Осуществлен синтез (взаимодействием окислов SrO и La_2O_3 в узком т-рном интервале 1860—1900° в лазерном луче) и рентгенографич. исследование (методы порошка и монокристалла, дифрактометр, МНК, анизотропное приближение, $R=0,067$ для 1870 отражений) кристаллов $\text{Sr}_3\text{La}_4\text{O}_9$, признанных метастабильными, поскольку они реализуются лишь при т-ре выше 1850°, а при т-ре выше 1900° уже плавятся. Параметры монокл. решетки: $a = 11,657$, $b = 7,348$, $c = 13,471$ Å, $\beta = 115,6^\circ$, ф. гр. Cc . В структуре имеется 2 типа катионных положений — с шестерной координацией в виде искаженного октаэдра и с семерной координацией в виде октаэдра с одной раздвоенной вершиной — статистически заселенных атомами Sr и La ($\text{Sr}, \text{La}—\text{O}$ 2,371—2,836 Å). Многогранники вокруг катионов соединяются ребрами и гранями в трехмерный каркас, полностью аналогичный каркасу структуры $\text{Sr}_3\text{Nd}_4\text{O}_9$.

С. В. Соболева

Синтез,
параллельно
реакции

д. 1981. № 10

LaRhO₃ - SrRuO₃

1980

6 Б943. Переход полупроводник — металл в системе LaRhO₃—SrRuO₃. Шаплыгин И. С., Лазарев В. Б. «Ж. неорган. химии», 1980, 25, № 12, 3229—3231

На основании рентгенографич., электрич. и магнитных измерений установлено, что в системе LaRhO₃—SrRuO₃ происходит гомеоморфный переход полупроводник — металл вблизи точки с содержанием 65 мол. % LaRhO₃. Этот фазовый переход совпадает с магнитным фазовым переходом ферромагнетик — парамагнетик.

Резюме

*фазовый
переход*

Х. 1981. N 6

$\text{LaRhO}_3\text{-SrRuO}_3$

1980

разраб.
рефлексод

3 Е603. Переход полупроводник — металл в системе $\text{LaRhO}_3\text{SrRuO}_3$. Шаплыгин И. С., Лазарев В. Б. «Ж. неорган. химии», 1980, 25, № 12, 3229—3231

На основании рентгенографических, электрических и магн. измерений установлено, что в системе $\text{LaRhO}_3\text{-SrRuO}_3$ происходит гомеоморфный переход полупроводник — металл вблизи точки с содержанием 65 мол. % LaRhO_3 . Этот фазовый переход совпадает с магн. фазовым переходом ферромагнетик — парамагнетик.

Резюме

Ф. 1981 № 3

1981

 $Sr_{1,50}La_{0,50}MnO_4$

3 Б934. Магнитные свойства фазы $Sr_{1,50}La_{0,50}MnO_4$.
 Bouloix J.-C., Soubeugoux J.-L., Daoudt A.,
 Le Flem G. Proprietes magnetiques de la phase
 $Sr_{1,50}La_{0,50}MnO_4$. «Mater. Res. Bull.», 1981, 16, № 7,
 855—860 (англ.)

Проведено исследование структурных, магнитных и электрич. св-в поликрист. образцов $Sr_{1,50}La_{0,50}MnO_4$ (I), содержащих равные конц-ии ионов Mn^{3+} и Mn^{4+} . Установлено, что эти образцы имеют структуру типа K_2NiF_4 с параметрами решетки a 3,868 Å, c 12,45 Å. Согласно нейтронографич. данным, параметры решетки и расстояния Mn—O в октаэдрич. комплексах MnO_6 при понижении т-ры от 300 до 2 К изменяются слабо. При т-рах 2—1100 К в магнитных полях напряженностью до 150 кЭ исследованы магнитные св-ва I. Установлено, что т-рная зависимость восприимчивости I при высо-

X.1982, 19, N3.

ких т-рах описывается ур-нием Кюри-Вейсса с парамагнитной т-рой Кюри $\theta=320\text{ K}$ и эффективным моментом $\mu \approx 4,18\text{ }\mu\text{B}$, а ниже 200 K выходит на плато. Электропроводность I в интервале 200 — 500 K хорошо описывается активациз. законом с энергией активации $\sim 0,19\text{ эВ}$. На основе анализа полученных данных сделан вывод, что I содержит упорядоченные ферромагнитные кластеры Mn^{3+} — Mn^{4+} , связанные антиферромагнитными обменными взаимодействиями.

Ю. В. Ракитин

$\text{La}_{0.5}\text{Sr}_{0.5}\text{CoO}_3$

1981

Moriuchi Kazuo,
et al.

(G)

Yogyo Kyokaishi 1981;
89(2), 104-106.

●
(cui. LaCoO_3 ; I)

$$\delta_{LL_x} S^z_{L_1-x} S^z$$

1981

/ 96: 12248g Specific heat of diluted ferromagnets europium strontium sulfide ($\text{Eu}_x\text{Sr}_{1-x}\text{S}$). Scherzberg, A.; Maletta, H.; Zinn, W. (Inst. Festkoerperforsch., KFA Juelich, D-5170 Juelich, Fed. Rep. Ger.). *J. Magn. Magn. Mater.* 1981, 24(2), 186-90 (Eng). The sp. heat C of $\text{Eu}_x\text{Sr}_{1-x}\text{S}$ ($x = 0.6-0.95$) was measured within the ferromagnetic regime. Both the temp. dependence of the magnetic contribution C_M and its behavior near the Curie point show a variation with concn. which demonstrates clearly a change in magnetic behavior near $x = 0.70$. $\text{Eu}_{0.6}\text{Sr}_{0.4}\text{S}$ exhibits properties that are similar to those of spin glasses, in spite of the long-range ferromagnetic order obsd. This transient behavior is consistent with previous observations.

C.A. 1982, 96, N2.

1981

Sr_{1-y}La_yFeO₃

3 Б882. Валентные состояния ионов Fe в $\text{Sr}_{1-y}\text{La}_y\text{FeO}_3$. Takano M., Kawachi J., Nakamoto N., Takeda Y. Valence state of the Fe ions in $\text{Sr}_{1-y}\text{La}_y\text{FeO}_3$. «J. Solid State Chem.», 1981, 39, № 1, 75—84 (англ.)

При т-рах 4—295 К исследованы мессбауэровские спектры соединений $\text{Sr}_{1-y}^{2+}\text{La}_y^{3+}\text{FeO}_3$ (I) с $y=0,1—0,6$. Выполнены также рентгеноструктурные исследования и измерения магнитной восприимчивости и уд. электрич. сопротивления образцов I. Результаты сопоставлены с данными для $\text{Ca}_{1-x}\text{Sr}_x\text{FeO}_3$. Обсуждается зависимость структуры соединений от их состава. Установлено наличие в системе I четырех типов фаз: парамагнитной и антиферромагнитной со средн. валентными состояниями ионов Fe и аналогичных со смешанными валентными состояниями. Определены т-ры фазовых переходов и интервалы существования фаз. Мессбауэровские спектры антиферромагнитной фазы, полученные при 4 К, интерпретированы в предположении наличия для Fe ряда дискретных (промежут. между Fe^{3+} и Fe^{5+}) состояний, зависящих от состава образцов. Л. А. Корытко

рентгено-
структур.
исследов.,
магнит.
восприимчи-
х. 1982, 19, № 3.

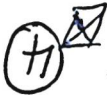
SrCeO₃

1981

№ 10 Б389. Рентгенографическое изучение SrCeO₃ и BaCeO₃. Longo V., Ricciardiello F., Minichelli D. X-ray characterization of SrCeO₃ and BaCeO₃. «J. Mater. Sci.», 1981, 16, № 12, 3503—3505. (англ.)

Проведено рентгенографич. (метод порошка) изучение MCeO₃, где M=Sr (I) или Ba (II), полученных при спекании MCO₃ с CeO₂, взятых в стехиометрич. кол-вах при 1400° с последующей закалкой в H₂O, медленным охлаждением на воздухе или отжигом вначале при 1400°, а затем 450°. I и II вне зависимости от типа термообработки кристаллизуются соотв. в ромбич. и тетрагон. сингонии с параметрами решетки a 5,997, 6,212, b 12,308, c 8,615, 8,804 Å, $Z=8$ и 4, ρ (изм.) 5,68, 6,29. Приведены значения I , $d(hkl)$ для I и II.

М. Б. Варфоломеев



X. 1982, 19, N10.

SrCeO₃

1981

16 Б361. Рентгенографическая характеристика Sr-CeO₃ и BaCeO₃. Longo V., Ricciardiello E., Minichelli D. X-ray characterization of SrCeO₃ and BaCeO₃. «J. Mater. Sci.», 1981, 16, № 12, 3503—3505 (англ.)

Осуществлены синтез (взаимодействием CeO₂ с SrCO₃ или BaCO₃ при т-ре 1400°) и рентгенографич. исследование (метод порошка) соединений SrCeO₃ (I) и BaCeO₃ (II), характеризующихся полупроводниковыми св-вами в условиях высоких т-р. Для I определена ромбич. решетка с параметрами: a 5,997, b 12,308, c 8,615 Å, для II — тетрагон. решетка с параметрами: a 6,212, c 8,804. Приведены значения I , $d(hkl)$ рентгограмм порошка I и II.

С. В. Соболева

*Кристал-
структур*

(71)



X. 1982, 19, N 16.

CeO_2-SrO 1981

Zongo V., Mirichelli D.,
et al.

Qazobas Sci. Ceram. 1981, 11,
Guapaca. 171-176.

(cer. CeO_2-CaO ; $\overset{\text{T}}{\text{X}}$)

$Nd_2Sr_3(BO_3)_4$

1982

2 Б471. Уточнение кристаллической структуры $\underline{Nd_2Sr_3(BO_3)_4}$. Абдуллаев Г. К., Мамедов Х. С. «Кристаллография», 1982, 27, № 4, 795—797

Уточнена структура $Nd_2Sr_3(BO_3)_4$ (λ Mo, 1734 отражения, анизотропный МНК до $R = 0,051$). Кристаллы ромбич., $a = 8,791$, $b = 16,176$, $c = 7,386$ Å, ρ (выч.) 4,99, $Z = 4$, ф. гр. $Pc\bar{2}_1n$. Структура состоит из островных BO_3 -треугольников и координац. полиэдров 2 независимых атомов Nd (нерегулярный 8-вершинник) и трех атомов Sr (нерегулярные кислородные 8-, 9- и 10-вершинники). Каждый из многогранников $Sr_{(1,2,3)}$ и $Nd_{(2)}$, связываясь

Кристал
структура

Х. 1983, 19, № 2

через общее ребро и грань с ближайшими симметрично эквивалентными полиэдрами, образуют колонки вдоль короткой оси. Колонки, соединяясь между собой общими ребрами, гранями и VO_3 -треугольниками $B_{(1)}$ и $B_{(2)}$, образуют стенки, перпендикулярные оси b . Стенки, связываясь между собой полиэдрами Nd_1 и треугольниками $B_{(3)}$ и $B_{(4)}$, вместе образуют каркасную структуру.

И. Л. Ф.

BrGd_4O_7

1982

Аммуроб Е.Б., Азиз-
Малиев С.Н. и др.

струхтире

Докт. АН СССР, 1982,
264, №, 1400-1402,

(см. CaGd_4O_7 ; ?)

SrCeO₃

1982

5 Б858. Термодинамические свойства фаз в системе
 $\text{SrO}-\text{CeO}_2$. |Левицкий В. А.,| Сорокина С. Л.,
Ковба М. Л. «9 Всес. конф. по калориметрии и хим.
термодинам., Тбилиси, 14—16 сент., 1982. Расширен.
тез. докл.» Тбилиси, 1982, 341—343

Методом э. д. с. с тв. O^{2-} -ионным электролитом изу-
чен образование тв. р-ра $x\text{SrO} + (1-x)\text{CeO}_2 \rightarrow (\text{SrO})_x \cdot (\text{CeO}_2)_{1-x}$ в интервале т-р 1200—1400 К. Значения
 ΔH кДж/моль и ΔS Дж/моль·К для соотв-щих x со-
ставили: $x=0,03, 0,08$ и $1,10$; $x=0,04, 0,15$ и $1,35, 0,05$
 $0,18$ и $1,55; 0,07, 0,20$ и $1,80$. Для образования церата
 SrCeO_3 из окислов при 1300 К найдены $\Delta H^\circ = -8,44 \pm$
 $\pm 2,10$ кДж/моль и $\Delta S^\circ = 5,63 \pm 1,7$ Дж/моль·К.

А. С. Гузей

X. 1983, 19, N/5

SrO-Nd₂O₅

1982

21 Б980. Система SrO—Nd₂O₅. Лещенко П. П., Шевченко А. В., Лыкова Л. Н., Ковба Л. М., Ипполитова Е. А. «Изв. АН СССР. Неорганические материалы», 1982, 18, № 7, 1202—1205

Исследованы фазовые равновесия в системе SrO—Nb₂O₅ в широком интервале т-р и построена *t-x*-диаграмма. В системе образуются шесть индивид. соединений: Sr₆Nb₂O₁₁, Sr₄Nb₂O₉, Sr₅Nb₄O₁₅, Sr₂Nb₂O₇, SrNb₂O₅ и Sr₂Nb₁₀O₂₇. Ниобат стронция Sr₆Nb₂O₁₁ имеет область гомогенности, ниже 1300° С не включающую стехиометрич. состав. Определены параметры элементарных ячеек всех синтезированных ниобатов стронция.

Резюме

$\text{Sr}_6\text{Nb}_2\text{O}_{11}$, $\text{Sr}_4\text{Nb}_2\text{O}_9$...
параметры решётки

+1

X.1982, 19, 1/21

Eu_xSr_{1-x}S

1983

10 Б3120. Состояние спинового стекла в $\text{Eu}_x\text{Sr}_{1-x}\text{S}$. Расчет фазовой диаграммы в приближении среднего поля. Spin glass behaviour in $\text{Eu}_x\text{Sr}_{1-x}\text{S}$. Calculation of phase diagram in mean field approximation. Navayag A. H., Shukla P. «Phys. status solidi», 1983, B120, № 2, K141—K144 (англ.)

Рассчитана диаграмма состояния магнитных фаз (парамагнитной, ферромагнитной и спинового стекла) $\text{Eu}_x\text{Sr}_{1-x}\text{S}$ (I), представляющего собой тв. р-р замещения, структура к-рого состоит из матричной крист. решетки типа NaCl ферромагнитного EuS с хаотически распределенными немагнитными ионами Sr. Расчет производился в приближении теории средн. поля Эдвардса—Андерсона для спиновых стекол. Расчетные данные сопоставлены с ранее полученными эксперим. и обнаружено их качеств. совпадение. Однако расчетная т-ра трикрист. точки на диаграмме оказалась сильно завышенной. Предполагается, что данное несоответствие связано с недостаточно корректным описанием распределения связей в крист. решетке I.

В. Е. Смирнов

X. 1984, 19, N 10

$La_{1-x}Sr_xCo_3$

1984

10 Б3156. Мартенситное превращение в $La_{1-x}Sr_xCo_3$. Martensitic transformation in $La_{1-x}Sr_xCo_3$. Matsuya T., Mizusaki J., Yamuchi S., Fueki K. «Jap. J. Appl. Phys.», 1984, PT 1, 23, № 9, 1197—1201 (англ.)

С помощью методов оптич. и электронной микроскопии, рентгеновского микроанализа и РФА исследована мультиплетная двойниковая мозаичная структура моно-кристаллов $La_{1-x}Sr_xCo_3$ ($x=0,0, 0,02$ и $1,0$), имеющих перовскитоподобную псевдокубич. элементарную ячейку. В пятнах лауэграммы (001) кристаллов (ось роста их имеет направление [001]) наблюдалось расщепление в направлении [100] на угол $1,5^\circ$, и в направлении [110] на угол $2,2^\circ$, что хорошо согласуется с вычисленными величинами, принимая параметр искажения решетки $\alpha=90,77^\circ$. Ширина образующихся доменов 1—10, длина 10—110 мкм. Образование двойниковой стру-

фазов. перекр.

X. 1985, 19, N 10

ктуры является следствием мартенситного фазового перехода с небольшим ромбоэдрич. искажением. Никаких признаков образования 2-ой фазы не обнаружено при нагреве до 1000° С на воздухе и в Аг. Для построения модели наблюдаемого превращения привлечены лит. данные для переходов в NiO и LaAlO₃.

В. А. Ступников

SrLaFeO₄

1985

103: 63703x Magnetic ordering in layered strontium oxide.lanthanum orthoferrite ($\text{SrO} \cdot \text{LaFeO}_3$) perovskite lattice. Abbattista, F.; Mazza, D.; Vallino, M.; Delunas, A.; Maxia, V. (Dip. Sci. Mater. Ing. Chim., Politec. Torino, Turin, Italy). *Lett. Nuovo Cimento Soc. Ital. Fis.* 1985, 43(5), 223-7 (Eng). The magnetic structure was studied of SrLaFeO₄ by Moessbauer spectroscopy. The compd. is tetragonal with a 3.873 and c 12.719 Å. The Fe(III) hyperfine field decreases as the temp. increases at 80 to 320 K. The Neel point is 351 K. The Fe³⁺ ions are in a high-spin 6A_1 sextet state.

TNj

C.A. 1985, 103, N 8

$\text{GdCl}_3 - \text{SrCl}_2$

1985

Blackrik R.,
Alberts G., et al.

(Amix H) Z. Anorg. Allg. Chem.
1985, 522, 207-16.

(au.Zall₃ - SrCl₂; 1)

$\text{YBaCl}_3 - \text{SrCl}_2$

1985

Blachnik R.,
Alberts G., et al.

(Δmix H) Z. Anorg. Allg. Chem.
1985, 522, 207 - 16.

(cui. $\text{LaAl}_3 - \text{SrCl}_2$; ?)

$\text{LaCl}_3 - \text{SrCl}_2$

1985

103: 76895m Phase diagrams of $\text{LnCl}_3/\text{MCl}_2$ ($\text{Ln} = \text{La, Sm, Gd, Yb}$; $\text{M} = \text{Sr, Ba}$). Blachnik, R.; Alberts, G.; Enninga, E. (Anorg. Chem., Univ. Osnabrück, D-4500 Osnabrueck, Fed. Rep. Ger.). Z. Anorg. Allg. Chem. 1985, 522, 207-16 (Ger). The systems $\text{LaCl}_3(\text{SmCl}_3, \text{GdCl}_3, \text{YbCl}_3)-\text{SrCl}_2(\text{BaCl}_2)$ were detd. by DTA. The Sr_2SmCl_7 and Sr_2GdCl_7 are isotypic, and the very similar reflection patterns of the Guinier photographs indicate structure related to that of the compd. Sm_3Cl_7 . The enthalpies of mixing of the systems $\text{LaCl}_3(\text{GdCl}_3, \text{YbCl}_3)-\text{SrCl}_2$ were measured calorimetrically. The values are exothermic, and min. were found at ~ 65 mol % SrCl_2 .

(mix H)

(+2) Ø



$\text{GdCl}_3 - \text{SrCl}_2$

$\text{YbCl}_3 - \text{SrCl}_2$

C.A. 1985, 103, N 10.

S₂₃PuO₆ [OM-21667] 1985

Bens R., Fueger J.,
Morss L.R., et al.,

ΔH_m^0 ;
 ΔS_m^0

J. Chem. Thermodyn.,
1985, 17, 561-573.

Eux Sr_{1-x}S

1985

2 E290. Теплоемкость $\text{Eu}_x\text{Sr}_{1-x}\text{S}$ в сильных магнитных полях. Specific heat of $\text{Eu}_x\text{Sr}_{1-x}\text{S}$ in high magnetic fields. Löhneysen H., van den Berg R., Lecomte G. V., Zinn W. «Phys. Rev. B: Condens. Matter», 1985, 31, № 5, 2920—2924 (англ.)

Проведено эксперим. исследование теплоемкости системы $\text{Eu}_x\text{Sr}_{1-x}\text{S}$ при $x=0,25$ и $0,54$ в интервале т-р от 70 К до 2 К в магн. полях напряженностью до 6 Тл. Установлено, что включение сильного поля приводит к более резкой температурной зависимости теплоемкости, свидетельствующей о вымораживании магн. возбуждений. При этом поведение теплоемкости системы $\text{Eu}_{0,54}\text{Sr}_{0,46}\text{S}$ аналогично простому ферромагнетику. В случае системы $\text{Eu}_{0,25}\text{Sr}_{0,75}\text{S}$ магн. поле приводит к менее резкому изменению температурной зависимости теплоемкости, что, согласно сделанному выводу, обусловлено наличием порога по полю относительно возникновения энергетич. щели в спектре возбуждений. Отмечено согласие предложенной интерпретации результатов по теплоемкости с известными эксперим. данными по теплопроводности.

П. С. Кондратенко

G:

ф. 1986, 18, № 2

SrCeO₃

1985

15 Б2009. Структурные аспекты перовскитоподобных соединений. Изменение симметрии в SrCeO₃ и твердых растворах на его основе. Structural aspects of perovskite-type compounds. Symmetry changes in SrCeO₃ and its solid solutions. Pretis A. de, Minichelli D., Ricciardello F. «Rev. int. hautes temp. et réfract.», 1985, 22, № 3—4, 215—219 (англ.; рез. фр.)

Проведенное рентгенографич. исследование (метод порошка, $R = 0,10$) соединения SrCeO₃ (I), синтезированного взаимодействием CeO₂ и SrCO₃, показало, что оно характеризуется ромбически искаженной структурой типа перовскита, но не с обычным соотношением параметров решетки $a \approx b$ и $c \approx a\sqrt{2}$ а соотношением параметров a и b $b \approx 2a$: $a = 5,997$, $b = 12,308$, $c = 8,615$ Å, ρ (изм.) 5,68, $Z = 8$, ф. гр. *Pmmn*. Межатомные расстояния Sr—O 2,718—3,296 Å, Ce—O 1,816—2,887). В фазах тв. р-ров I—SrZrO₃ и I—BaZrO₃ удвоение параметра b исчезает.

С. В. Соболева

X. 1986, 19, N 15

$\text{Eu}_{1-x}\text{Sr}_x\text{S}$

1985

102: 121040w Specific heat of europium strontium sulfide ($\text{Eu}_{1-x}\text{Sr}_x\text{S}$) in high magnetic fields. Von Loehneysen, H.; Van den Berg, R.; Lecomte, G. V.; Zinn, W. (Phys. Inst., Rheinisch-Westfael. Tech. Hochsch. Aachen, D-5100 Aachen, Fed. Rep. Ger.). *Phys. Rev. B: Condens. Matter* 1985, 31(5), 2920-4 (Eng). The sp. heats C of the spin glass $\text{Eu}_{0.25}\text{Sr}_{0.75}\text{S}$ and of the reentrant ferromagnet $\text{Eu}_{0.54}\text{Sr}_{0.46}\text{S}$ were measured between 70 mK and 2 K in magnetic fields B up to 6 T. C For $B = 0$ varies roughly linearly with temp. as found previously, while the steep temp. dependence obsd. in high fields indicates the gradual opening of a gap in the energy spectrum with increasing H . The presence of a large threshold field B_0 for the existence of a gap in the case of the spin glass is attributed to a peak in the d. of states in the vicinity of $E = 0$, in agreement with recent numerical calcns.

(C_p)

C.A. 1985, 102, N 14.

SrLa₄O₇

2002

F: La₂O₃-SrO, La₄SrO₇, La₄Sr₃O₉

P: 1

SrLa₄O₇ и пр.!

04.02-19Б3.36. Определение экспериментальной фазовой диаграммы и термодинамическая оценка системы La₂O₃-SrO. Experimental phase diagram determination and thermodynamic assessment of the La₂O₃-SrO system : [Symposium " Computational Thermodynamics and Materials Design" as Part o Annual Meeting of the Minerals, Metals and Materials Society (TMS), New Orleans, La, 12-15 Febr., 2001] / Grundy A. Nicholas, Hallstedt Bengt, Gauckler Ludwig J. // Acta mater. - 2002. - 50, N 9. - C. 2209-2222. - Аи В оксидной части системы La-Sr-O существуют две промежуточные фазы: 'бета с некоторой областью однородности, сосредоточенная вокруг стехиометрии La₄SrO₇, и стехиометрическая фаза La₄Sr₃O₉. La₂O₃ растворяе значительное количество SrO, а SrO растворяет лишь незначительное количес La₂O₃. Микроанализ, РСТА и ДТА использованы для определения пределов устойчивости фаз. С

использованием экспериментальных данных и оцененных литературных данных оптимизировано термодинамическое описание системы и рассчитана фазовая диаграмма квазибинарной системы La₂O₃-SiO.

Gd Sr $\text{Cr}_2\text{O}_{5.5}$

ор. 42051

2003

Касенов Б.К., ... Дауренбеков С.Н.

ЖМХ, 2003, 48, №, 1441 - 1445

Термод. и электропровод. об-ва Gd Sr $\text{Cr}_2\text{O}_{5.5}$

C_p

298 - 673 K

$T_{tr} = 348, 448 \text{ K}$